

Fig. 2.2.21. WYKRESY PARAMETRÓW FAZOWYCH VLF. Rejon badawczy STARA ŁOMNICA

Bystrzyca Kłodzka

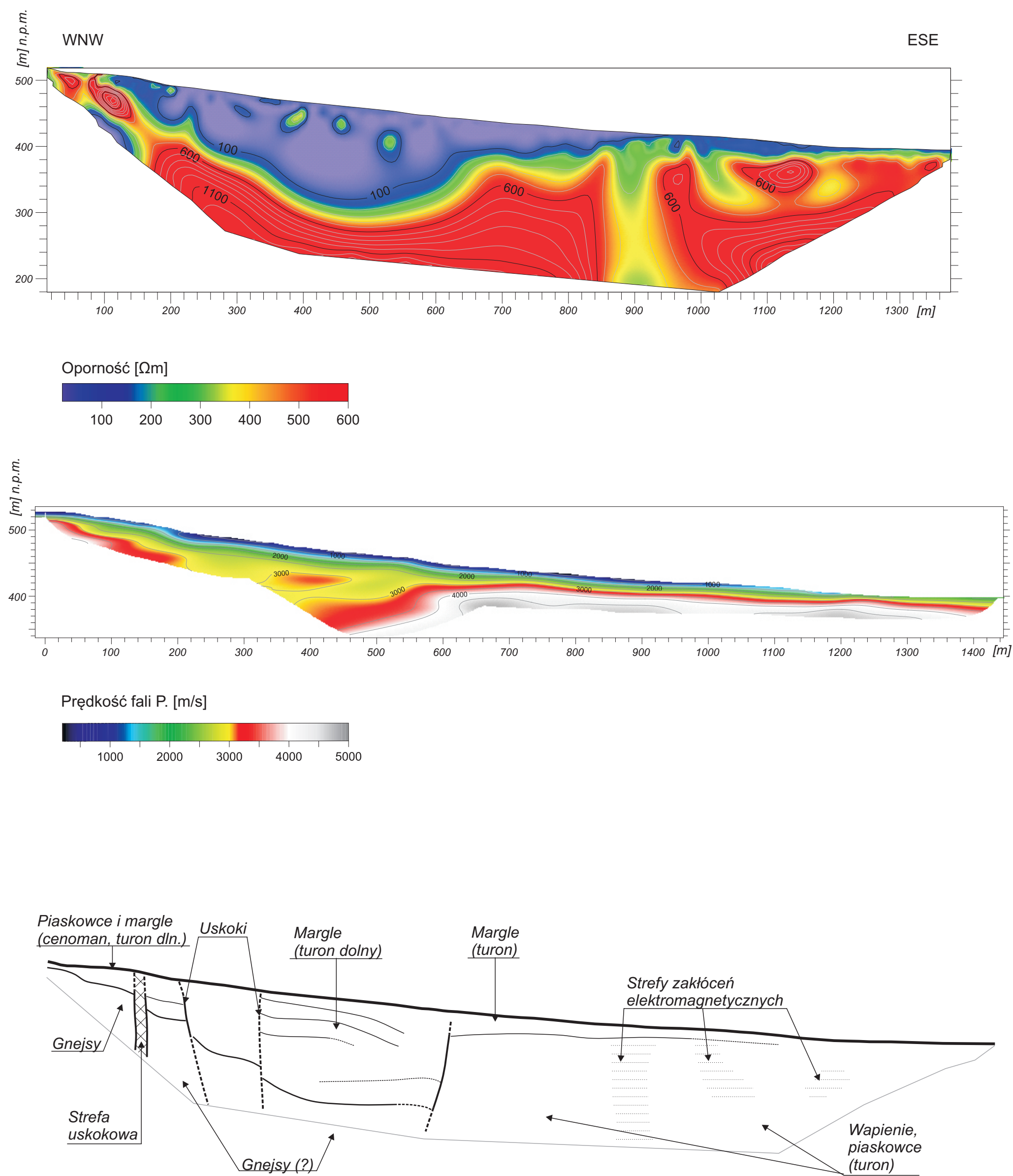


Fig. 2.2.22. Wyniki badań geofizycznych (ERT, SRT) dla rejonu badawczego Bystrzyca Kłodzka

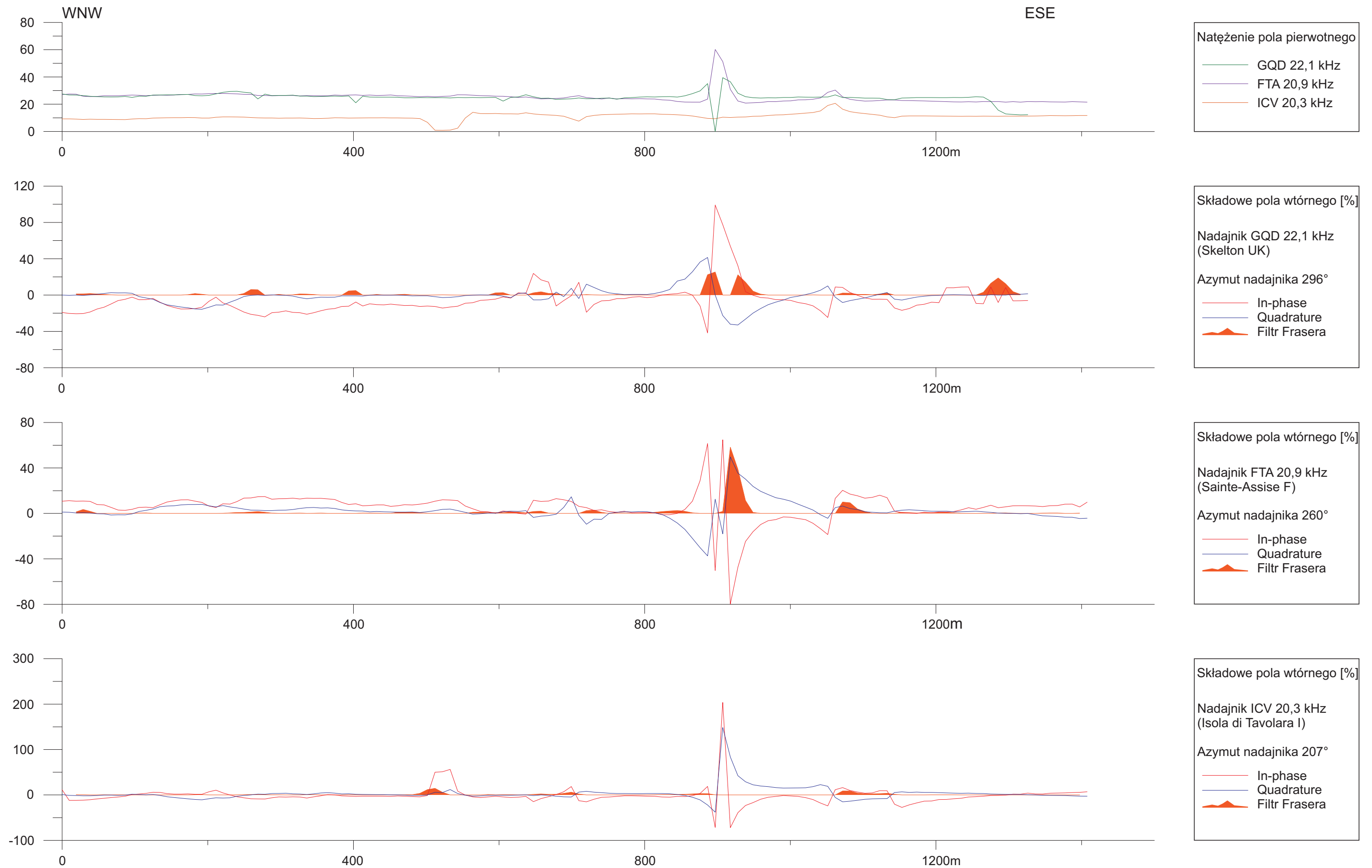


Fig. 2.2.23. WYKRESY PARAMETRÓW FAZOWYCH VLF. Rejon badawczy BYSTRZYCA KŁODZKA

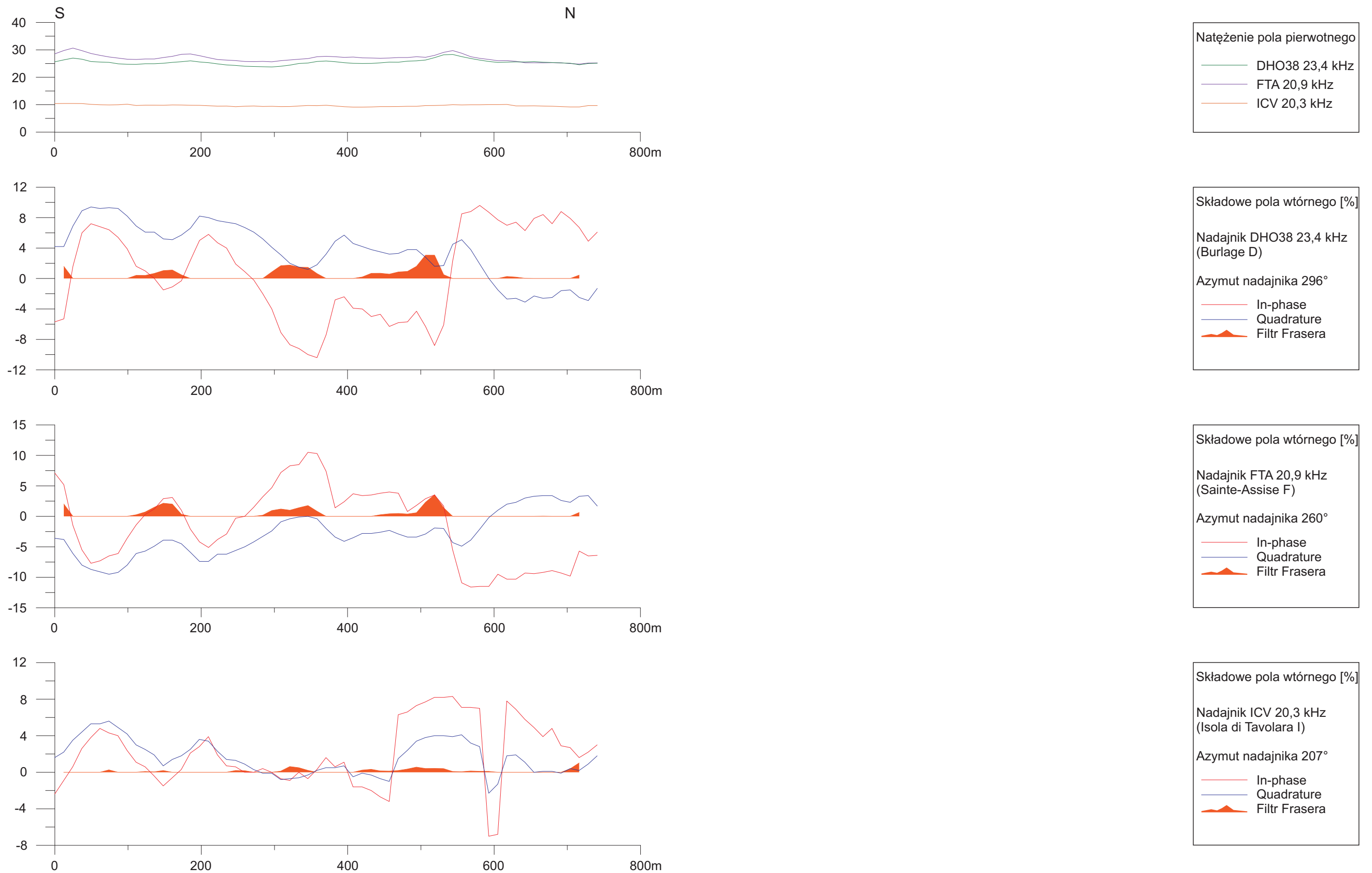


Fig. 2.2.24. WYKRESY PARAMETRÓW FAZOWYCH VLF. Rejon badawczy SPALONA

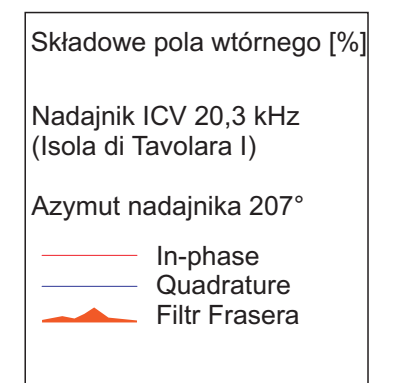
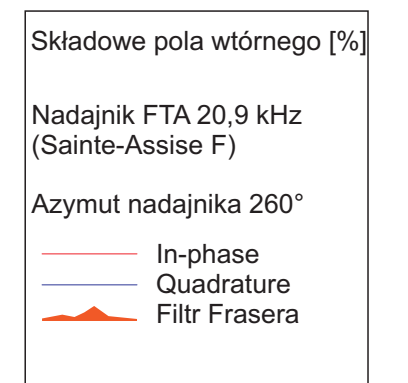
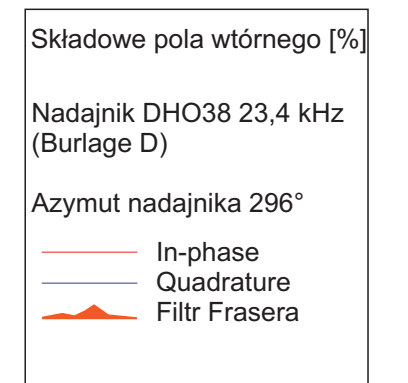
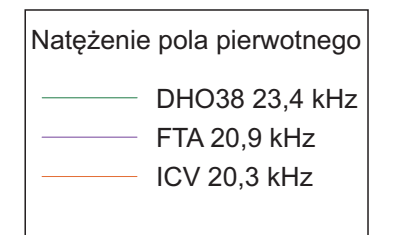
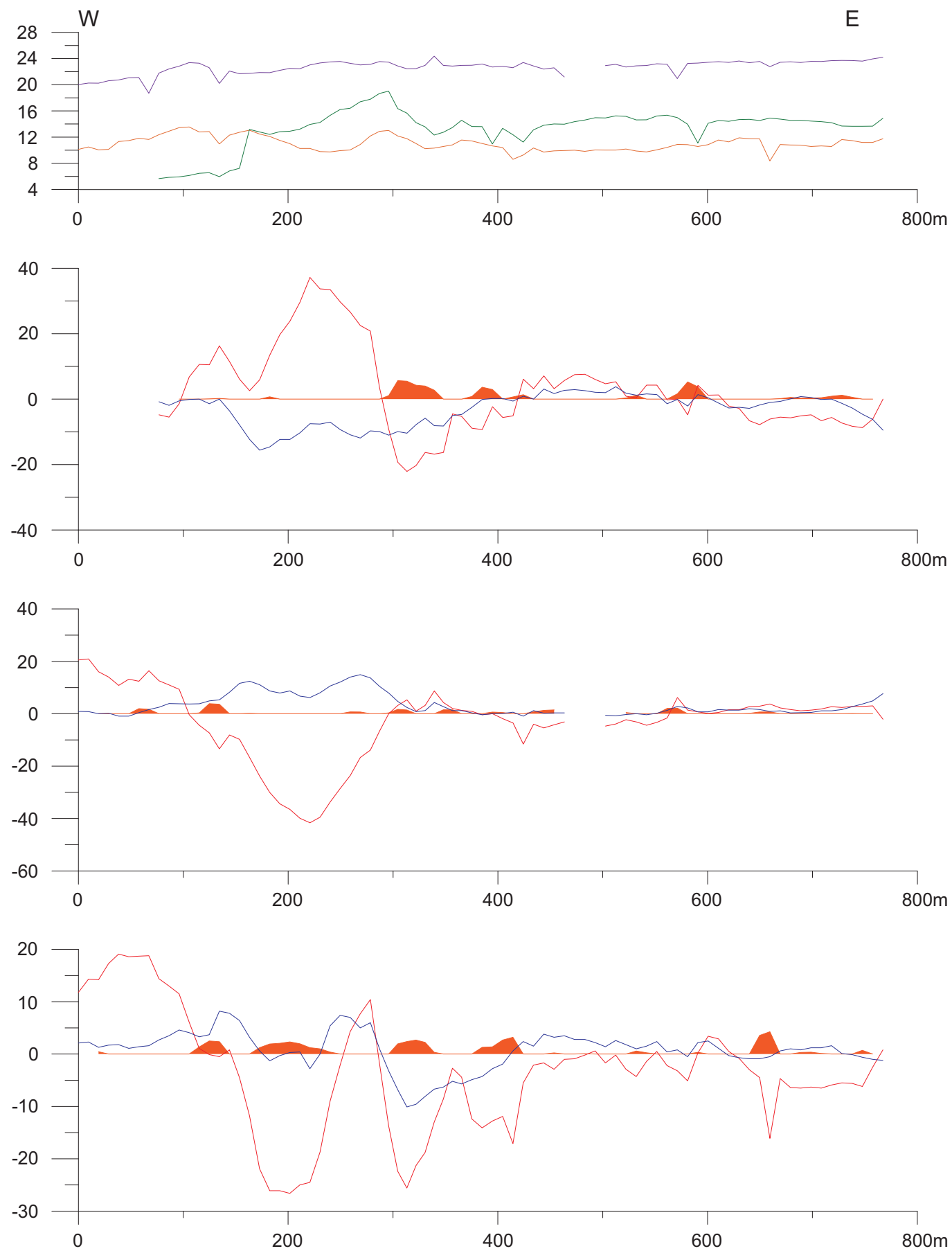


Fig. 2.2.25. WYKRESY PARAMETRÓW FAZOWYCH VLF. Rejon badawczy RÓŻANKA

Różanka

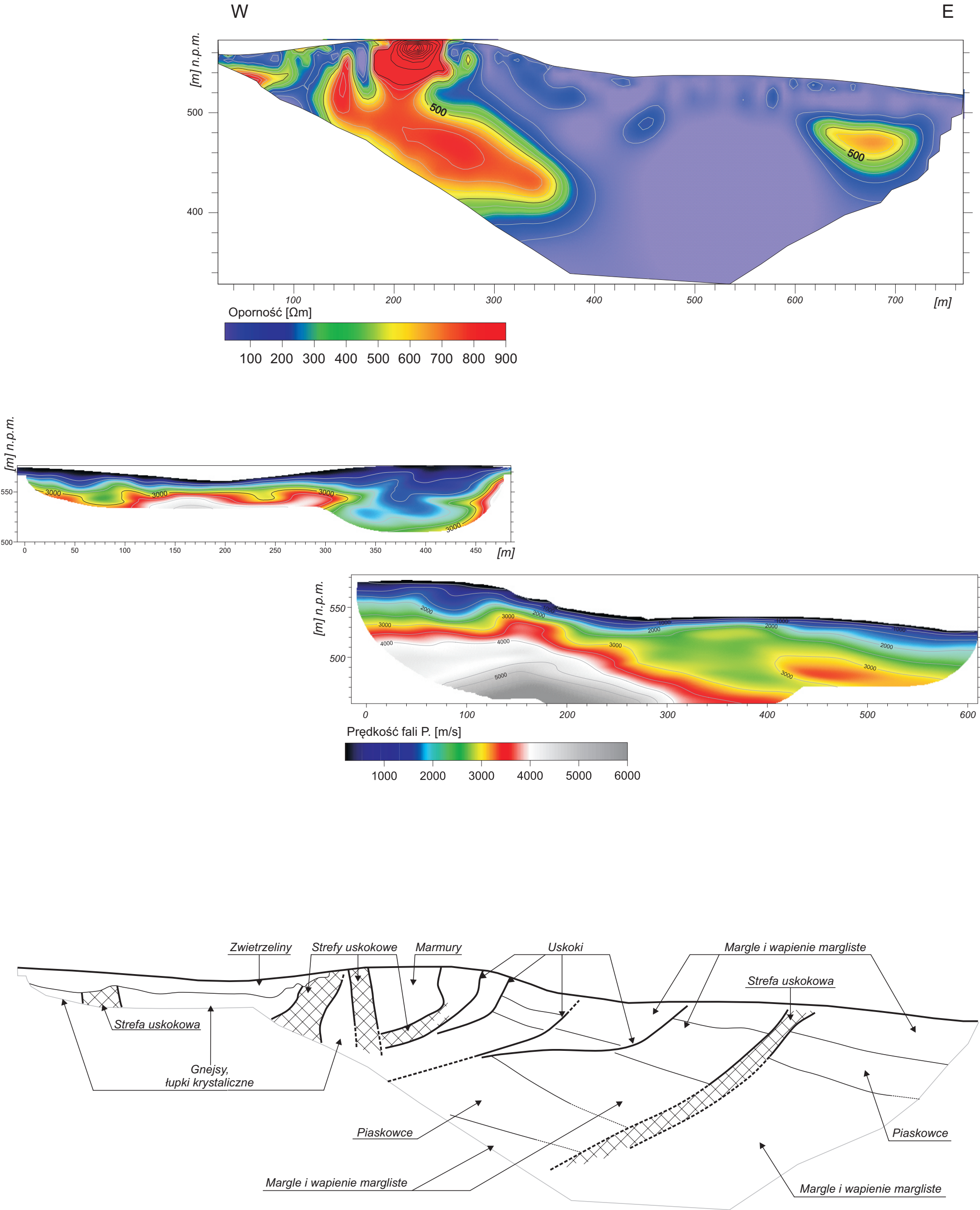


Fig. 2.2.26. Wyniki badań geofizycznych (ERT, SRT) dla rejonu badawczego Różanka

Goworów

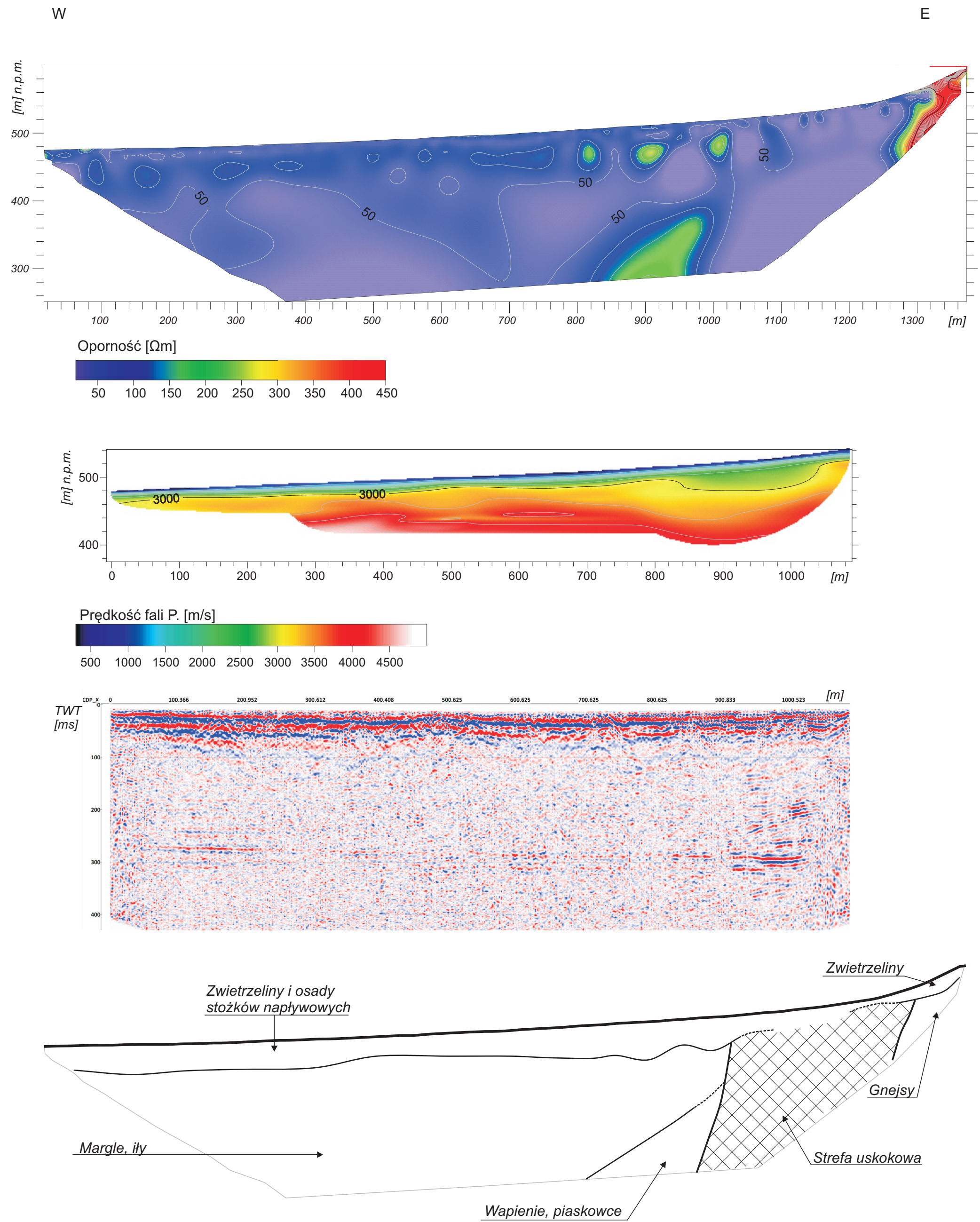
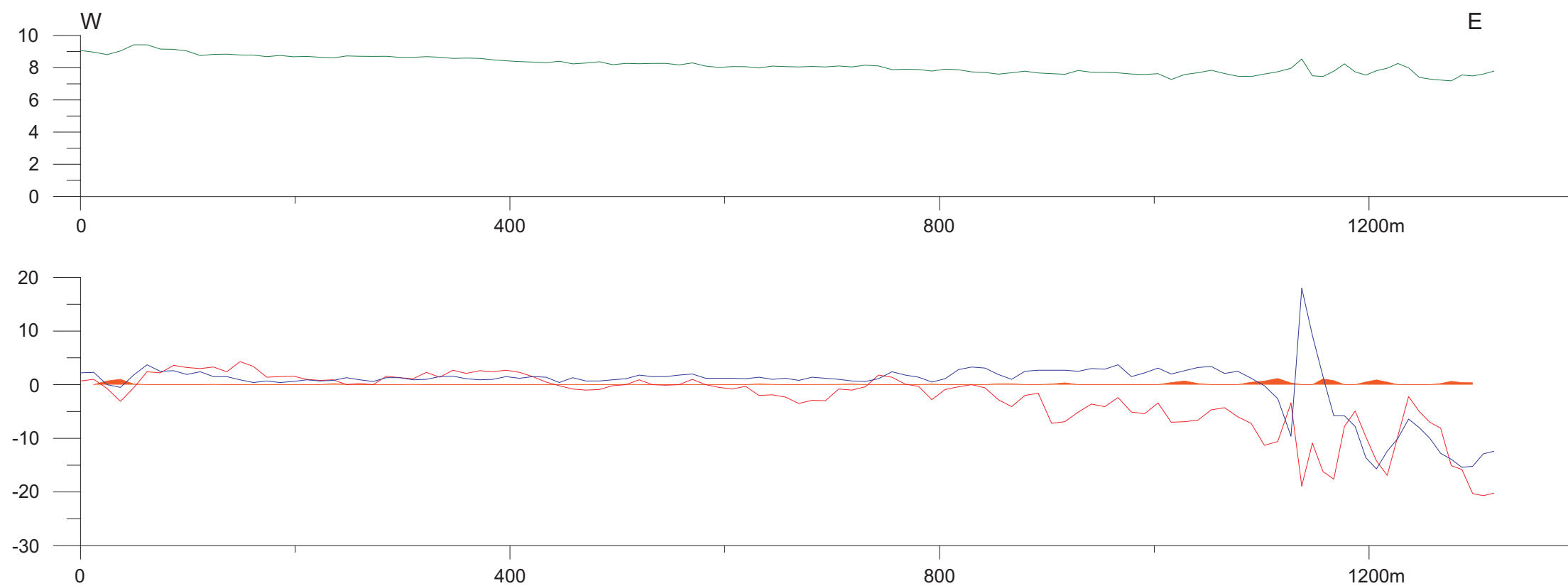


Fig. 2.2.27. Wyniki badań geofizycznych (ERT, SRT, RS) dla rejonu badawczego Goworów



Natężenie pola pierwotnego

— GQD 22,1 kHz

Składowe pola wtórnego [%]

Nadajnik GQD 22,1 kHz
(Skelton UK)

Azymut nadajnika 296°

— In-phase
— Quadrature
— Filtr Frasera

Fig. 2.2.28. WYKRESY PARAMETRÓW FAZOWYCH VLF. Rejon badawczy GOWORÓW

Lądek Zdrój

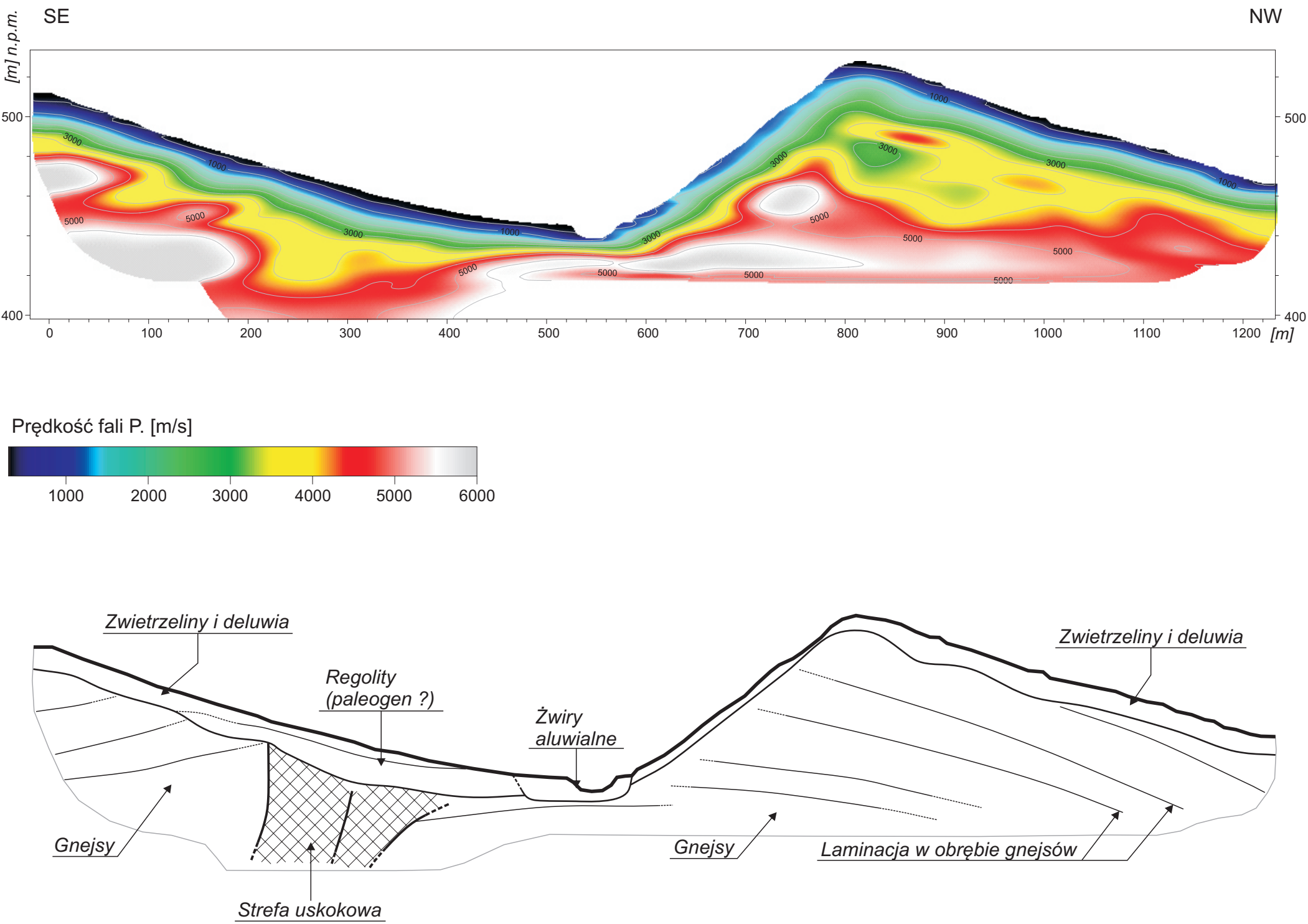


Fig. 2.2.29. Wyniki badań geofizycznych (ERT, SRT, RS) dla rejonu badawczego Lądek Zdrój

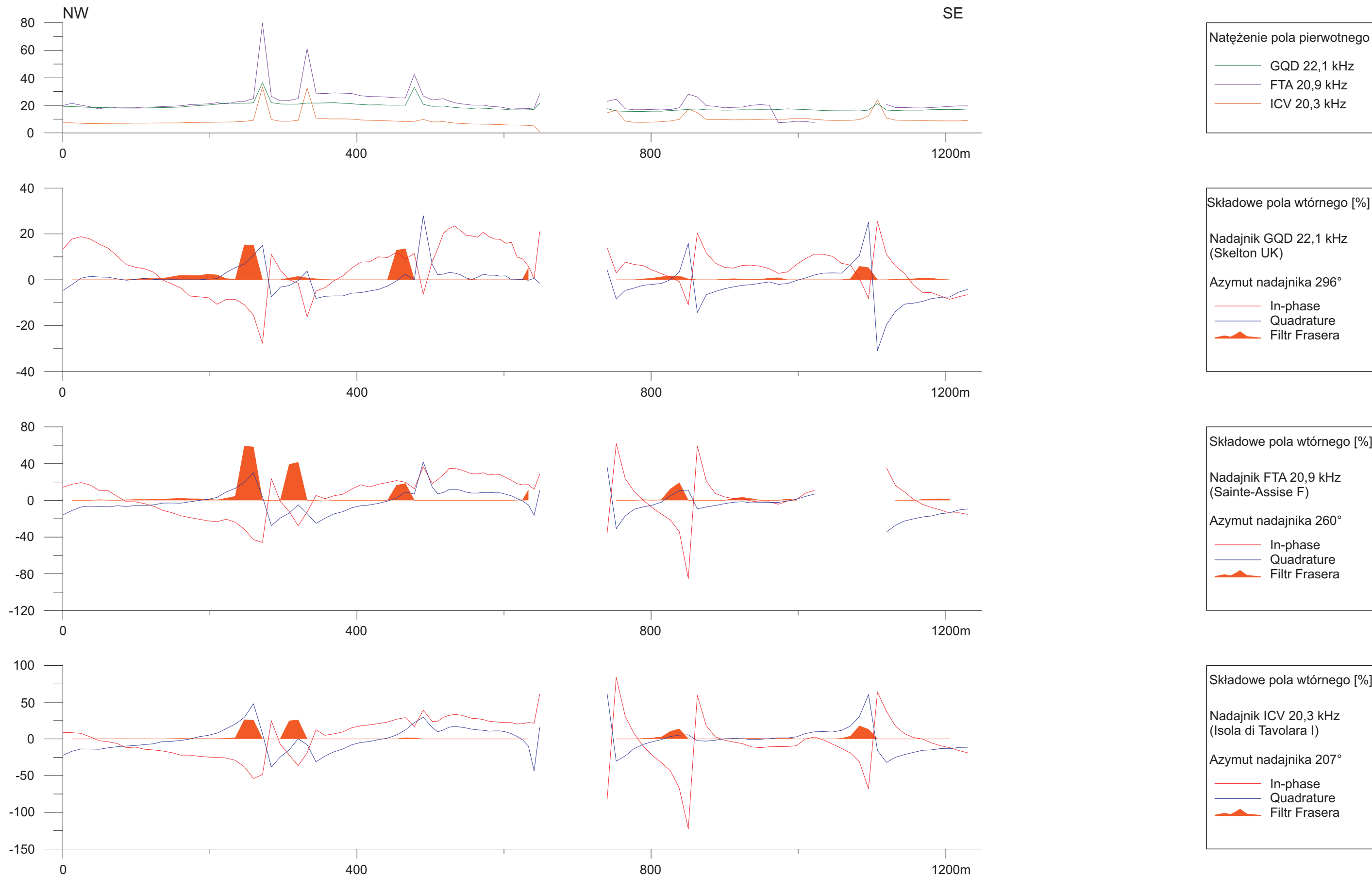


Fig. 2.2.30. WYKRESY PARAMETRÓW FAZOWYCH VLF. Rejon badawczy ŁĄDEK ZDRÓJ

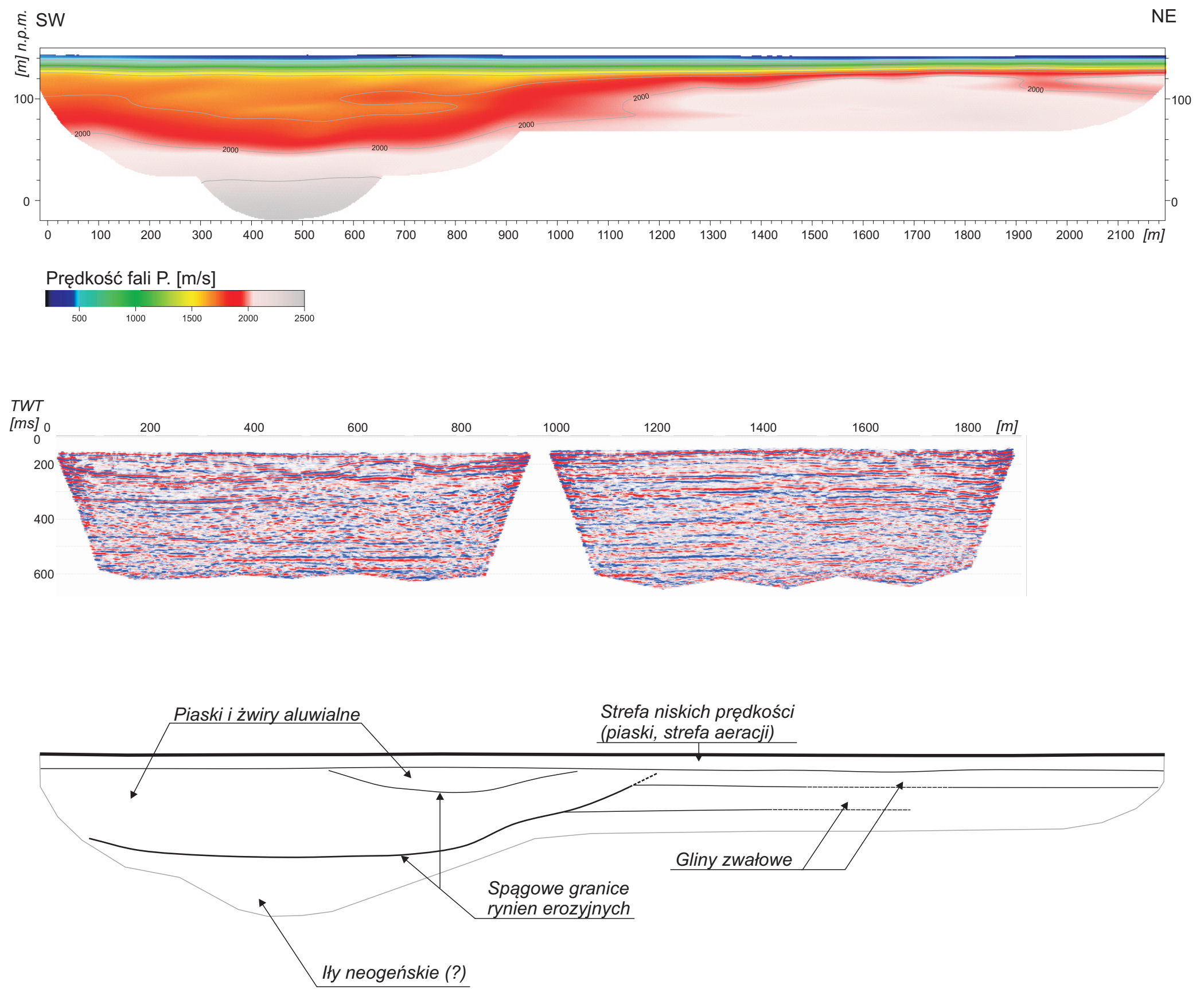


Fig. 2.2.31. Wyniki badań geofizycznych (SRT, RS) dla rejonu badawczego Jelcz-Laskowice

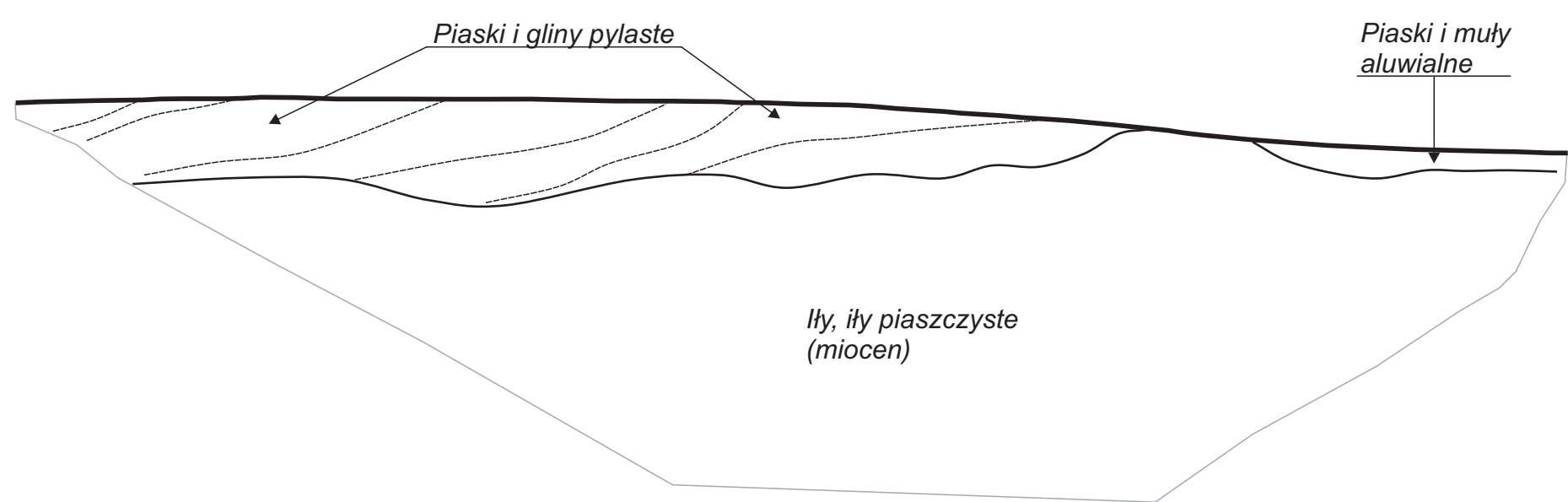
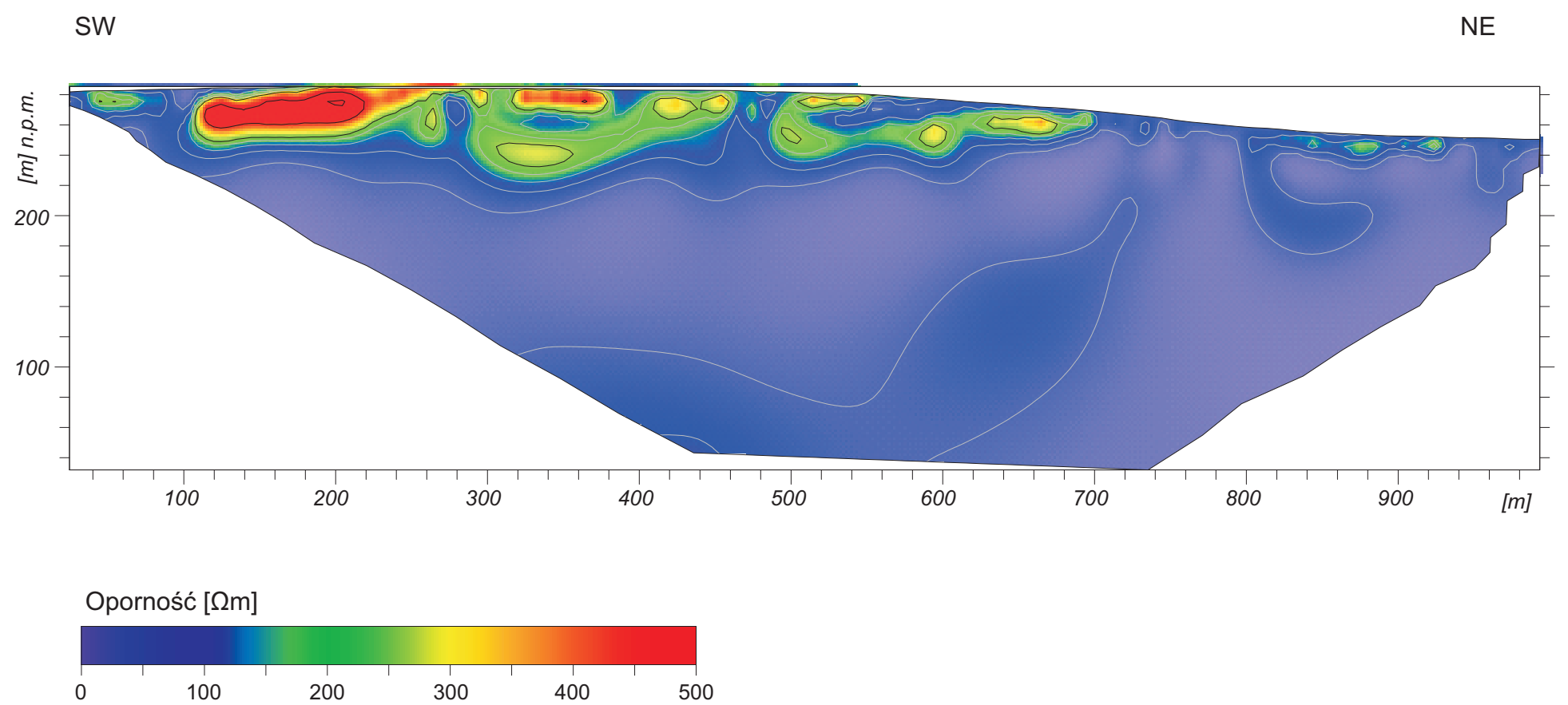


Fig. 2.2.32. Wyniki badań geofizycznych (ERT) dla rejonu badawczego Wilamowice Nyskie

Radoszowice

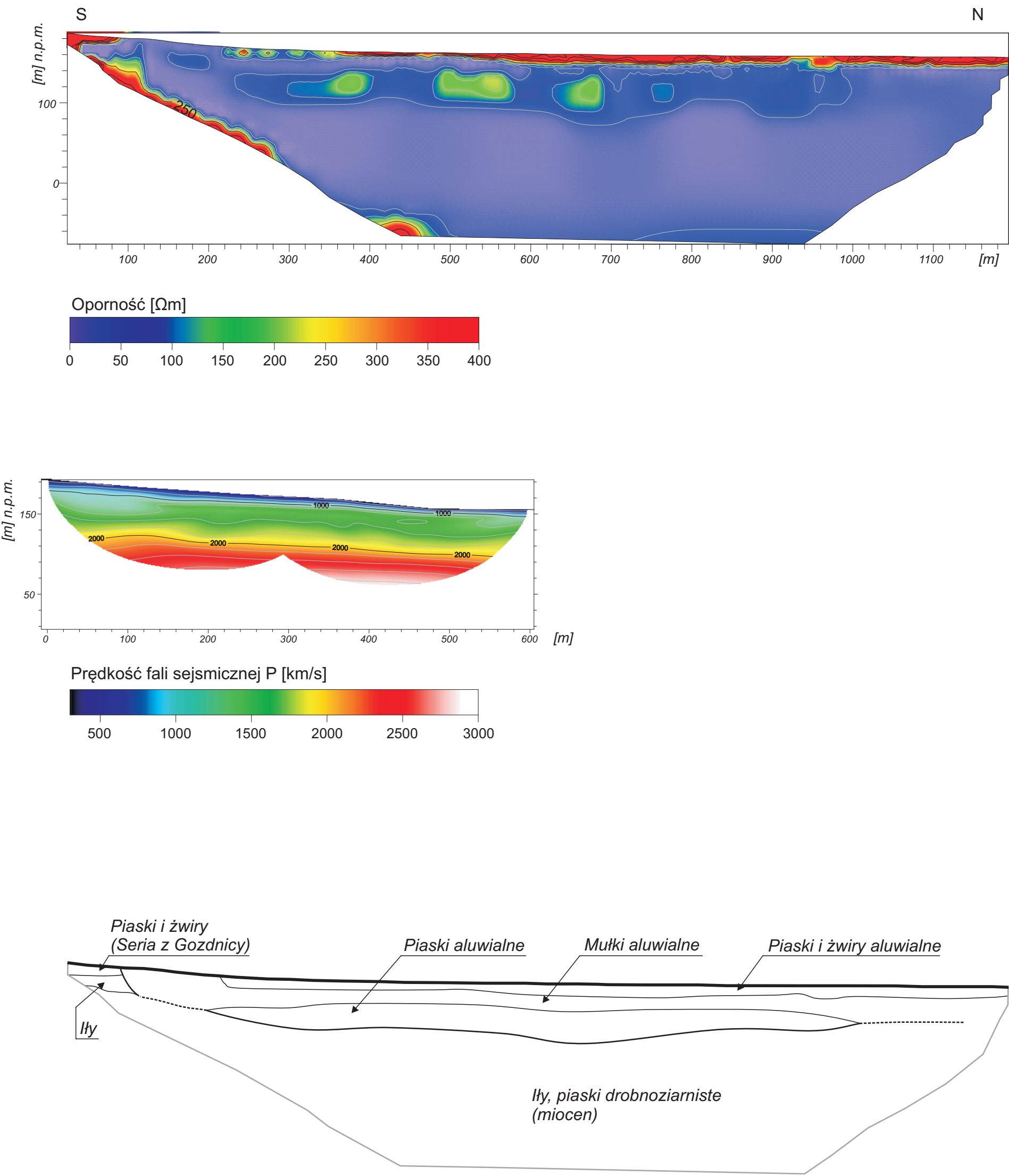


Fig. 2.2.33. Wyniki badań geofizycznych (ERT, SRT) dla rejonu badawczego Radoszowice